



# تحلیل رگرسیون خطی چندمتغیره برخی پارامترهای عملکردی مهم یک موتور دیزل متداول در شرایط کاری مختلف

مجید رجبی وندچالی<sup>1</sup>، محمدحسین عباسپورفرد<sup>2\*</sup>، عباس روحانی<sup>3</sup>

1- دانشجوی دکتری، مهندسی مکانیک بیوسیستم، دانشگاه فردوسی مشهد، مشهد

2- استاد، مهندسی مکانیک بیوسیستم، دانشگاه فردوسی مشهد، مشهد

3- استادیار، مهندسی مکانیک بیوسیستم، دانشگاه فردوسی مشهد، مشهد

\* مشهد، کد پستی 9177948978

## چکیده

در حال حاضر، جهان با کاهش روزافزون منابع فسیلی، بحران انرژی و نیز مسائل زیست محیطی مواجه است. از طرفی، موتورهای دیزل به دلیل کاربرد گسترده در بخش‌های مختلف نظیر حمل و نقل، کشاورزی، صنعت و غیره، از منابع اصلی مصرف سوخت و تولید آلاینده هستند. اندازه-گیری دقیق مصرف سوخت و آلاینده موتورها مستلزم صرف وقت و هزینه‌ی گراف برای محققین است. از این‌رو، هدف اصلی این تحقیق ارائه‌ی مدل‌های رگرسیون خطی مناسب برای برخی پارامترهای عملکردی مهم موتور تراکتور ITM285 بر حسب گشتاور و سرعت موتور بود آزمایش در 11 سطح سرعت اولیه موتور (779, 1204, 1063, 921, 1346, 1488, 1629, 1771, 1818, 1813, 1913 و 2054 rpm) با اعمال گشتاور از صفر تا بار کامل، با گام‌های Nm 10 انجام شد. پارامترهای اندازه‌گیری شامل دبی جرمی مصرف سوخت، دمای اگزو، سرعت لحظه‌ای موتور، حداکثر و میانگین کدری دود اگزو بود. چهار مدل رگرسیون خطی مختلف برای برآورد پارامترها مورد استفاده قرار گرفته است. نتایج بررسی کارآیی مدل‌های رگرسیونی نشان داد که برای تعامی پارامترها، مدل رگرسیونی مرتبه دوم دارای بیشترین بازده و کمترین RMSE بود. بیشترین تأثیر گشتاور به ترتیب بر دمای اگزو و سرعت لحظه‌ای موتور بود؛ درحالی که این نتیجه برای سرعت اولیه موتور کاملاً برعکس بود. نتایج ارزیابی مدل‌های رگرسیونی نشان داد که تطابق بالایی بین خروجی مدل‌ها با خروجی مطلوب وجود داشت. هم‌چنان، همبستگی بین دبی جرمی سوخت و دمای اگزو و نیز بین حداکثر و میانگین کدری دود به ترتیب با ضرائب همبستگی 0.96 و 0.99 در سطح بسیار بالایی قرار داشت.

## اطلاعات مقاله

مقاله پژوهشی کامل

دریافت: 28 آذر 1395

پذیرش: 26 اسفند 1395

ارائه در سایت: 24 اردیبهشت 1396

کلید واژگان:

رگرسیون خطی چندمتغیره

کدری دود اگزو

گشتاور

صرف سوخت

موتور دیزل

## Multiple linear regression analysis of some important performance parameters of a conventional diesel engine in different working conditions

Majid Rajabi Vandechali, Mohammad Hossein Abbaspour-Fard\*, Abbas Rohani

Department of Biosystems Engineering, Ferdowsi University of Mashhad, Mashhad, Iran

\* P.C. 9177948978, Mashhad, Iran, abaspour@um.ac.ir

## ARTICLE INFORMATION

Original Research Paper

Received 18 December 2016

Accepted 16 March 2017

Available Online 14 May 2017

Keywords:

Multiple linear regression

Exhaust opacity

Torque

Fuel consumption

Diesel engine

## ABSTRACT

Nowadays, the world is faced with increasing loss of fossil resources, energy crisis and environmental problems. On the other hand, diesel engines due to wide application in various sectors such as transport, agriculture, industry, etc., are the main sources of emissions and fuel consumption. Accurate measurement of fuel consumption and engine pollution is time-consuming and costly. Hence, the main objective of this study was to develop proper linear regression models of some important performance parameters of ITM285 tractor engine based on engine torque and engine speed. Experiments were carried out in 11 levels of primary engine speed (1063, 1204, 1346, 1488, 1629, 1771, 1818, 1913 and 2054 rpm) by 10 Nm steps of torque from zero (no load) to full load. The measured parameters include fuel consumption mass flow, exhaust temperature, instantaneous engine speed, maximum and mean exhaust opacities. Four different linear regression models were used to estimate the parameters. The results of regression models performance evaluation showed that quadratic model had the highest efficiency and the lowest RMSE for all parameters. The maximum and minimum effects of engine torque were on exhaust temperature and instantaneous engine speed, respectively; while this result was completely reverse for primary engine speed. The results of regression models evaluation showed a high adaptation between the output of each model and the desired output. Also, the fuel mass flow and exhaust temperature were highly correlated to the maximum and mean exhaust opacity with correlation coefficients of 0.96 and 0.99, respectively.

فسیلی نظری نفت، ذغال‌سنگ، بنزین، سوخت دیزل و غیره را تجربه کرده

است؛ به طوری که 80 درصد نیاز انرژی جهان از طریق همین منابع فسیلی در دهه‌های اخیر، جهان وضعیت پر مخاطره‌ای را از لحاظ مصرف سوخت‌های

۱- مقدمه

برای ارجاع به این مقاله از عبارت ذیل استفاده نمایید:

M. Rajabi Vandechali, M. H. Abbaspour-Fard, A. Rohani, Multiple linear regression analysis of some important performance parameters of a conventional diesel engine in different working conditions, *Modares Mechanical Engineering*, Vol. 17, No. 5, pp. 363-373, 2017 (in Persian)

آگراوال و همکاران [10] تأثیر بازخوارانی دود اگزو<sup>۱</sup> (EGR) بر دمای اگزو<sup>۲</sup>، مصرف سوخت ویژه ترمی و میزان کدری دود اگزو<sup>۳</sup> در یک موتور دیزل دوسیلیندر هوا خنک با پاشش سوخت مستقیم را بررسی کردند. آزمایشات در یک سرعت موتور ثابت (1500 rpm) و با اعمال بارهای مختلف انجام شد. بنابراین، نتایج به دست آمده تنها برای این سرعت موتور معتبرند و قابل تعمیم به سرعت‌های دیگر نیستند. این محققین مهم‌ترین عامل موثر در تشکیل NO<sub>x</sub> را دمای احتراق دانسته و دمای اگزو<sup>۴</sup> را در ارتباط مستقیم با تشکیل این نوع آلاینده معرفی نمودند؛ با این استدلال که کاهش دمای اگزو<sup>۵</sup> به معنی کاهش دمای احتراق است. پاشایی هولاسو و همکاران [11] تأثیر سیستم توربوشارژر بر پارامترهای مصرف سوخت موتور، توان و کشش تراکتورهای ITM457 و ITM485 و ITM800 را مورد بررسی قرار دادند. سوخت‌سنج مورد استفاده دبی جرمی مصرف سوخت را اندازه‌گیری شد تا آورد. در تحقیق حاضر، مستقیماً دبی جرمی مصرف سوخت اندازه‌گیری شد تا با مشکل تغییر چگالی سوخت با دما مواجه نشود. برخی محققین، پارامترهای عملکردی موتور دیزل نظری دمای اگزو<sup>۶</sup>، بازده حرارتی، مصرف سوخت ویژه ترمی و نیز انتشار آلاینده‌های گازهای خروجی ناشی از بیودیزل حاصل از روغن افتتابگردان و سوخت دیزل [12] و ترکیب‌های مختلف بیودیزل ریزلبک و سوخت دیزل خالص [13] بر روی موتور دیزل را بررسی کردند. آلاینده‌ها به صورت تکیک شده اندازه‌گیری شدند اما میزان کدری دود اگزو<sup>۷</sup>، تعیین و مورد بررسی قرار نگرفته است. نتایج حاکی از ارتباط نزدیک بین دمای اگزو<sup>۸</sup> و NO<sub>x</sub> بود اما بدان اشاره‌ای نشده است و نمودار یا رابطه رگرسیونی بین این دو پارامتر ارائه نگردیده است. عباسزاده و قبادیان [5] تأثیر برخی پارامترهای کاری یک موتور دیزل تکسیلیندر آب خنک با پاشش مستقیم شامل سرعت دورانی موتور در چهارسطح (1200، 1350، 1500 و 1650 rpm)، بار موتور در چهار سطح (55، 70، 85 و 100 درصد بارکامل) و زاویه پاشش سوخت در پنج سطح (22، 32، 37 و 42 درجه قبل از نقطه مرگ بالا) را بر میزان کدری دود اگزو<sup>۹</sup> بررسی کردند. نتایج نشان داد که بار موتور و زاویه پاشش سوخت، بیشترین تأثیر را بر روی کدری دود اگزو<sup>۱۰</sup> داشتند. با توجه به سطوح بار موتور، این نتایج برای بارهای پایین (کمتر از 55 درصد بار کامل) معتبر نیست. همچنین منظور از زاویه پاشش سوخت، زاویه مخروط پاشش در سر انژکتور نیست بلکه اشاره به زمان بندی پاشش دارد. از این رو، نام‌گذاری زاویه پاشش سوخت برای این عامل چندان مناسب نبود. برخی محققین اثرات مختلف عدد ستان و فشار پاشش سوخت در سرعت‌های مختلف [14]، سرعت موتور و فشار پاشش در وضعیت‌های مختلف دریچه‌ی گاز [15]، فشار پاشش و نوع سوخت در سرعت‌های مختلف موتور در شرایط بار کامل [16] بر پارامترهای عملکردی (صرف سوخت ویژه، دمای گازهای خروجی، گشتاور و غیره) و آلاینده‌گی موتور دیزل را مورد بررسی و تحلیل قرار داده‌اند. نتایج ارائه شده در این تحقیقات از نظر کیفی مشابه بوده اما از نظر کمی تفاوت داشته‌اند که احتمالاً به دلیل تفاوت در نوع موتور و نوع سوخت بوده است. نمودارهای ارائه شده همراه با برآش منحنی سیر روند بوده اما نوع منحنی و معادله‌ی رگرسیونی مربوط به آن‌ها ارائه نگردیده است. همچنین برخی از این محققین [16,14] پارامترهای تحقیق را تنها در شرایط بار کامل اندازه‌گیری و ارائه کرده‌اند. بنابراین نتایج برای بارهای پایین‌تر معتبر

<sup>۹</sup> Exhaust Gas Recirculation

تامین می‌شود که 58 درصد آن به تنهایی در بخش حمل و نقل مورد استفاده قرار می‌گیرد [1]. اکنون به خوبی روش شده است که به دلیل استخراج میلیون‌ها بشکه نفت در روز و محدود بودن منابع نفتی، در آینده‌ای نه‌چندان دور، جهان با بحران کاهش یا حتی اتمام منابع سوخت‌های فسیلی بهویژه نفت روبرو خواهد شد [2]. در حال حاضر با توجه به کاهش روزافزون منابع فسیلی و مسئله‌ی بحران انرژی و نیز مسائل زیست محیطی نظری افزایش گازهای گلخانه‌ای، تخریب لایه ازن و اختلالات تنفسی در شهرهای بزرگ که بشر با آن گریبان گیر است، توجه و تمرکز محققین بر روی مصرف سوخت و آلاینده‌های تولیدی ناشی از احتراق سوخت‌های فسیلی بسیار حائز اهمیت می‌نماید. در این میان، موتورهای دیزل به طور گسترده در خودروها، کشتی‌ها، ژنراتورها، تجهیزات نظامی، صنایع سنگین و ماشین‌های کشاورزی بهویژه تراکتورها مورد استفاده قرار می‌گیرند. این موتورها نسبت سوخت به توان موثر (صرف سوخت ویژه<sup>۱</sup>) کمتری نسبت به موتورهای نوع اشتعال جرقه‌ای<sup>۲</sup> دارند [3] و نوسانات کمترشان آن‌ها را برای کاربردهای مداوم، این‌تر می‌سازد [4].

خبری بیش‌تر تلاش‌ها برای کاهش آلودگی در جهان بر روی موتورهای دیزل متتمرکز شده است. آلودگی‌های موتورهای دیزل، ترکیبات پیچیده‌ای هستند که شامل ترکیبات آلی و غیرآلی نظری دی‌اکسید کربن (CO<sub>2</sub>، مونواکسید کربن (CO)، دی‌اکسید سولفور (SO<sub>2</sub>، اکسیدهای نیتروژن (NO<sub>x</sub>، هیدروکربن‌های نسخته (UHC)<sup>۳</sup> و ذرات ریز معلق در هوا (SPM)<sup>۴</sup> می‌باشند [5]. در موتورهای دیزلی، آلاینده‌های NO<sub>x</sub> و دود از اهمیت بیشتری نسبت به CO و UHC برخوردارند [6]. از ویژگی‌های موتورهای دیزلی، بالا بودن ذرات معلق نسبت به موتورهای بنزینی است. بخش بزرگی از آلاینده‌ی ذرات معلق را ذرات ریز کربن و بخش دیگر آن را هیدروکربن‌ها تشکیل می‌دهند [7]. در ایران احتراق سوخت دیزل تقریباً 80.9 درصد از کل SPM تولیدی، 47.2 درصد از NO<sub>x</sub> و 36.4 درصد از دی‌اکسید گوگرد را تولید می‌نماید [6]. بحث الودگی موتورهای دیزل به دلیل کاربرد گسترده تراکتورها در بخش کشاورزی و در شهرها در وسائل حمل و نقل عمومی و ماشین‌های سنگین در کارهای عمرانی و ساختمانی و نیز استفاده از این موتورها به صورت موتور پمپ آب و دیزل ژنراتور در فضاهای بسته، از اهمیت بسیار بالایی برخوردار است [5].

یکی از راه‌های بیان آلودگی دود اگزو<sup>۱۱</sup> بیان سطح کدری دود<sup>۱۲</sup> است. شاخص کدری دود در واقع مشخص کننده میزان غلاظت دود می‌باشد. کدری دود ترکیبی از دود سیاه (ذرات دوده)، دود آبی (بخار هیدروکربن) و دود سفید (بخار آب) می‌باشد [8]. کدری دود اگزو<sup>۱۳</sup> بر حسب m<sup>3</sup> بیان می‌شود. از واحدهای دیگر آن، FSN<sup>۱۴</sup>، HSU<sup>۱۵</sup> و غیره می‌باشد [9].

تاکنون تحقیقات زیادی به منظور بررسی مصرف سوخت و آلودگی موتورهای دیزل بهویژه کدری دود اگزو<sup>۱۶</sup> انجام شده است. در این تحقیقات عوامل مختلفی نظری نوع سوخت (دیزل، بیودیزل و ترکیبات آن‌ها)، سرعت موتور، بار موتور، فشار پاشش سوخت، زمان بندی پاشش و غیره بر روی پارامترهای عملکردی موتور دیزل نظری مصرف سوخت، دمای اگزو<sup>۱۷</sup>، آلاینده‌ها، توان ترمی، فشار محفظه‌ی احتراق و غیره مورد بررسی قرار گرفته است.

<sup>۱</sup> Specific Fuel Consumption (S.F.C.)<sup>۲</sup> Spark Ignition<sup>۳</sup> Unburned hydrocarbons<sup>۴</sup> Suspended Particulate Matter<sup>۵</sup> Opacity<sup>۶</sup> Hartridge Smoke Unit<sup>۷</sup> Bosch Smoke Unit<sup>۸</sup> Filter Smoke Number

مدل، چهار دسته‌ی اصلی عیوب موتور (فرسایش رینگ، پیستون، یاتاقان‌های میل‌لنگ و آستری سیلندر) شناسایی و مورد تحلیل رگرسیونی قرار گرفتند. از نظر این محققین استفاده از مدل‌های رگرسیونی برای عیب‌یابی، مناسب، سودمند و چه بسا ضروری می‌نمود با این توجیه که تجزیه و تحلیل داده‌های حاصل از آزمایش‌های آنالیز روغن، به عنوان کلید عیب‌یابی و شناسایی خرامی‌ها، نیاز به مهارت‌های انسانی دارد که اولاً به راحتی در دسترس نیستند و ثانیاً تحلیل‌های انسانی تأمین با خطأ می‌باشد. نتایج نشان داد که به جز فرسایش آستری سیلندر با ضریب تبیین تعدیل شده‌ی برابر با 0.48، بقیه مدل‌ها با قابلیت اطمینان بالایی مورد تأیید قرار گرفتند. از پنج مدل ارائه شده در آن تحقیق، سه مدل دارای مقدار ثابت غیرمعنی‌دار در سطح پنج درصد بودند اما محقق به اشتباه آن‌ها را وارد مدل نموده است در حالی که می‌باشد برابر با صفر در نظر بگیرد [21] و از مدل حذف نماید. فلاخ و محمدپورفرد [23] پارامترهای موثر در طراحی و بهینه‌سازی لوله‌های خنک-کن EGR، جهت افزایش بازده موتورهای دیزلی با درنظر گرفتن محدودیت‌های افزایش افت فشار را مورد بررسی قرار دادند. از روش رگرسیون خطی چندمتغیره برای استخراج ضرائب معادله‌ی نظری عدد ناسلت حاکم بر لوله‌ها استفاده شد؛ بدین صورت که از طرفین رابطه‌ی نظری عدد ناسلت، لگاریتم گرفته شد و به صورت خطی در آمد. سپس با استفاده از تحلیل رگرسیونی، ضرائب رابطه‌ی خطی تعیین شدند. محققین برای ارزیابی مدل‌های رگرسیونی، نتایج حاصل از آن را با داده‌های تجربی دیگر محققین مقایسه کردند و تطابق بسیار خوبی را گزارش نموده‌اند. نتایج حاصل از این تحقیق حاکی از آن است که تحلیل رگرسیون خطی، علاوه بر تخمین و مدل‌سازی پارامترها، ابزاری قدرتمند برای تعیین ضرائب معادلات حاکم بر پدیده‌های فیزیکی برای یک شرایط خاص می‌باشد. نقوی مرادخانلو و همکاران [24] تأثیر میزان سنگین‌کننده در 9 سطح و سرعت پیش‌روی در 2 سطح بر بکسوات، نیروی مالبندی و مصرف سوخت تراکتور ITM285 را مورد بررسی قرار دادند و مدل رگرسیون خطی مصرف سوخت را بر حسب سه متغیر سنگین‌کننده، بکسوات و نیروی مالبندی ارائه داده‌اند. مدل ارائه شده دارای دو ایراد اساسی است: 1- سرعت پیش‌روی به عنوان متغیر مستقل بوده و اثر آن بر مصرف سوخت بررسی شد اما در مدل رگرسیونی نیامده است و از آن طرف، بکسوات و نیروی مالبندی که خود جزو متغیرهای وابسته بودند، وارد مدل شده‌اند. 2- بکسوات وابسته به نیروی مالبندی است در حالی که در مدل رگرسیونی نباید بین متغیرهای مستقل مدل، وابستگی و همخطی وجود داشته باشد. این از شرایط و مفروضات رگرسیون خطی است و در چنین حالتی یکی از متغیرها باید حذف شود. محققین در مورد مزیت تحلیل رگرسیونی اذعان داشته‌اند که از مدل ارائه شده می‌توان بدون انجام آزمایش‌های پرهیزنه‌ی تست کشش و با داشتن میزان سنگین‌کننده و نیروی مالبندی، مصرف سوخت تراکتور را تخمین زد. اما به این نکته توجه ننموده‌اند که اندازه‌گیری نیروی مالبندی بدون انجام تست کشش مقدور نمی‌باشد. چنانچه مدل ارائه شده بر حسب متغیرهای مستقل تحقیق (سنگین‌کننده و سرعت پیش‌روی) بود هیچ‌یک از ایرادهای نامبرده قابل طرح نبوده است. به طور خلاصه، مزایای ارائه‌ی چنین مدل‌هایی جلوگیری از انجام آزمایش‌های پرهیزنه و زمان بر است [25] و در موقعی که ابزارهای دقیق برای اندازه‌گیری برخی از پارامترها نظری‌الاینده‌ها، مصرف سوخت، نیروی کشش و غیره در دست نباشد وجود چنین مدل‌هایی بسیار کارآمد و راهگشا خواهد بود. همچنین مدل‌های رگرسیونی به دلیل فرموله کردن متغیر و ارائه رابطه‌ی ریاضی، برای بهینه‌سازی و پیدا کردن نقاط بحرانی یا اکسترمم، بسیار

نیست. به طور خلاصه، در اغلب تحقیقات ذکر شده متغیرهای مستقل تنها در زیرمجموعه‌ای از شرایط کاری موتور انتخاب شدند و نتایج به دست آمده قابل برون‌یابی نیست. همچنین تنها به تفسیر نمودارها و مقادیر بحرانی پرداخته شد اما مدل‌های رگرسیونی خطی یا غیرخطی از پارامترها بر حسب متغیرهای مستقل ارائه نگردیده است. از این رو، در این تحقیق سعی بر آن شد تا دامنه‌ی سرعت و گشتاور موتور (متغیرهای مستقل) به گونه‌ای انتخاب شود که از دور آرام تا سرعت حدکثر و از بار صفر (حالت بدون بار) تا بار کامل را در بر گیرد و روابط به دست آمده قابلیت میان‌یابی برای هر شرایطی از کار موتور را دارا باشد.

در پدیده‌های طبیعی و مسائل تجربی، روش‌های متعددی برای تخمین یک پارامتر از روی یک یا چند متغیر وجود دارد. یکی از روش‌ها برای پیش-بینی رفتار یک متغیر وابسته نسبت به متغیرهای مستقل، مدل رگرسیون خطی چندمتغیره<sup>۱</sup> است. رگرسیون خطی نه تنها یکی از قدیمی‌ترین روش-های پیش‌بینی است بلکه ساده‌ترین روش تشریح شده برای برازشتابع نیز می‌باشد [17]. در رگرسیون خطی،تابع نهایی یک معادله‌ی خطی به فرم  $Y=B_0+B_1X_1+B_2X_2+\dots+B_nX_n$  است که در آن  $Y$  متریک مدل است که در آن  $X_0$  تا  $X_n$  متغیرهای مستقل هستند [18]. در صورتی پژوهش‌گر می‌تواند از رگرسیون خطی استفاده کند که شرایط زیر برقرار باشد [19]:

- 1- میانگین (امید ریاضی) خطاهای صفر باشد.
- 2- واریانس خطاهای ثابت باشد.
- مفروضات 1 و 2 بدین معنی است که توزیع خطاهای باید دارای توزیع نرمال باشد.

-3- بین خطاهای مدل، همبستگی وجود نداشته باشد.

-4- متغیر وابسته دارای توزیع نرمال باشد.

-5- بین متغیرهای مستقل، همخطی وجود نداشته باشد.

اولو دامار و همکاران [20] به استخراج مدل رگرسیون خطی تعدادی از پارامترهای عملکردی موتور دیزل بر حسب متغیرهای دیگر پرداختند تا با کاربرد معادلات به دست آمده از رگرسیون، قادر به برآورد پارامترهای عملکردی موتور بدون صرف زمان و انجام آزمایش‌های پرهیزنه باشند. به عنوان مثال، در تحقیقی بر روی یک موتور اشتغال تراکمی با سوخت‌های مختلف بیوپلیزل، صدا و ارتعاش موتور با استفاده از تحلیل رگرسیونی مورد بررسی قرار گرفت. نتایج نشان داد که ارتعاش و سطح فشار صدا می‌تواند به خوبی و با دقیقی قابل قبول، با استفاده از رگرسیون خطی و غیرخطی برآورد شود؛ اما وقتی مدل رگرسیون خطی می‌تواند با دقیقی مناسب، متغیر وابسته را برآورد نماید استخراج مدل غیرخطی به دلیل پیچیدگی بیشتر، توجیه مناسبی ندارد و عملاً بی‌فایده است. البته مدل‌های غیرخطی ارائه شده در آن تحقیق به صورت تابع توانی چهارمتغیره به فرم  $y=ax_1^bx_2^cx_3^dx_4^e$  و متغیر  $x_i$  به قسمی که  $i=1,2,3,4$  باشد، اینجا متریک متریک می‌شوند از دو طرف رابطه، یک حقیقتی (اند) ارائه شده‌اند. بنابراین با لگاریتم گرفتن از دو طرف رابطه، یک مدل خطی از لگاریتم متغیر وابسته بر حسب لگاریتم متغیرهای مستقل به دست می‌آمد. هرچند، لگاریتم گیری از متغیرها زمانی انجام می‌شود که توزیع خطاهای نرمال نباشد و یا بین متغیرهای مستقل، همخطی وجود داشته باشد [21]. ابراهیم‌زاده و همکاران [22] مدل عیب‌یابی مکانیکی موتور تراکتور MF399 را با استفاده از آنالیز روغن به دست آورده‌اند که به منظور تعریف

<sup>۱</sup> Multiple linear regression

**جدول ۱ مشخصات فنی موتور مورد استفاده**  
**Table 1 Technical characteristics of the used engine**

پرکینز، چهار سیلندر، چهار زمانه	نوع موتور
1384	سال ساخت
101 mm	قطر سیلندر
127 mm	کورس پیستون
16:1	نسبت تراکم
سوخت دیزل	نوع سوخت
ردیفی	نوع پمپ انژکتور
تریبیک مستقیم	سیستم احتراق
2000 rpm در سرعت موتور	حداکثر قدرت
75 hp	سرعت محور توان دهنده
1818 rpm در سرعت موتور	1818 rpm

## 2- مشخصات آزمایش

آزمایش در ۱۱ سطح سرعت اولیه موتور ( $N_p$ ) شامل: 779، 921، 1063، 1204، 1346، 1488، 1629، 1771، 1818 (سرعت مشخصه موتور)، 1913 و 2054 rpm انجام شد. در هر آزمایش، محور توان دهنی تراکتور با استفاده از اتصال چهارشاخه گردان به دینامومتر متصل و راهاندازی گردید. سپس سرعت موتور در سطح موردنظر ثابت شد و قبل از انجام آزمایش، موتور به مدت 10 دقیقه کار کرد تا گرم شود [3]. در عملیات زراعی و باغی عمدها با استفاده از گاز دستی تراکتور، موتور در وضعیت دریچه گاز ثابت قرار می‌گیرد؛ از این رو در انجام آزمایشات، وضعیت استقرار دریچه گاز موتور در تمام مدت اعمال بار اعمال گشتاور (T) از صفر (حالت بدون بار) شروع و با گام‌های 10 Nm تا بار کامل ادامه یافت. با افزایش گشتاور، سرعت موتور اولیه موتور، در سرعت موتور بدون تغییر بود [27]. در هر سطح سرعت اولیه موتور، اعمال گشتاور (T) از صفر (حالت بدون بار) شروع و با گام‌های 10 Nm تا بار کامل ادامه یافت. نمای بستر آزمون در شکل ۱ آمده است. پارامترهای لحظه‌ای نامیده شد. نمای بستر آزمون در شکل ۱ آمده است. پارامترهای اندازه‌گیری شامل دبی جرمی مصرف سوخت، دمای گازهای خروجی موتور، سرعت لحظه‌ای موتور، حداکثر کدری دود اگزوز و میانگین کدری دود اگزوز بود. آزمایشات در محدوده دمای هوای محیط  $23 \pm 7$  درجه سانتی گراد انجام شد [28].

## 2- اندازه‌گیری پارامترها

برای اعمال بار دورانی به موتور از یک دینامومتر اصطکاکی- هیدرولیکی با گردش آب، مدل پلینت<sup>۳</sup> ساخت کشور انگلستان با حدکثر ظرفیت بارگذاری 325 Nm استفاده شد (شکل ۱). تجهیزات اندازه‌گیری پارامترها در شکل ۲ و شکل شماتیکی بستر آزمون در شکل ۳ نشان داده شده است. ثبت داده‌ها پس از پایداری در مقادیر تجهیزات اندازه‌گیری در هر نقطه‌ی جدید از شرایط کاری موتور (گشتاور و سرعت) انجام شد [26]. دینامومتر مجهز به یک نیروسنجه<sup>۴</sup> با ظرفیت 100 کیلوگرم بود که مقادیر نیروی اعمالی را به رایانه ارسال می‌کرد که با ضرب آن در بازوی گشتاور (0.365 m) تبدیل به گشتاور می‌شد. قبل از انجام آزمایش، دینامومتر توسط وزنه‌های استاندارد ضمیمه می‌شد. سرعت دینامومتر نیز توسط یک سرعت‌سنجه<sup>۵</sup> نوری کالیبره شد. مقادیر سرعت و گشتاور دینامومتر توسط یک مدار الکترونیکی واسطه، دریافت و به صورت دیجیتالی وارد رایانه شده و بر روی نمایشگر رایانه نشان داده

سودمند می‌باشند. ایراد اصلی و اساسی مدل‌های تخمینی آن است که این مدل‌ها خاصیت درون‌یابی دارند و همچنین تنها برای شرایطی خاص (شرایط آزمایش) معتمدند و قابل تعمیم به شرایط دیگر نیستند.

در حال حاضر تراکتورها بهویله مدل ITM285 (تراکتور متداول بسیاری از مناطق کشور) به طور گسترده‌ای در بسیاری از عملیات کشاورزی و در تجهیزات ثابت زراعی و باغی مورد استفاده قرار می‌گیرد. در سال ۱۳۸۱ حدود ۹۵ درصد قسمت‌های مختلف تراکتور ITM285 در ایران ساخته شده و اکنون این تراکتور توسط شرکت تراکتورسازی ایران تولید و عرضه می‌شود [24]. ادوات کشاورزی نظیر خاکورزهای فعال<sup>۶</sup> (مثل روتیواتورها، سیکلوتیلهای و غیره)، بسته بندها، چاپرهای کمپاین‌های کششی، سمپاش‌ها، کودپاش‌ها و غیره و نیز تجهیزات ثابت زراعی و باغی نظیر کاه‌خردکن‌ها، سرشاخه‌خردکن‌ها و غیره، همگی از محور توان دهنده<sup>۷</sup> تراکتور نیرو می‌گیرند. اندازه‌گیری و آگاهی از برخی پارامترهای عملکردی مهم موتور در بارها و سرعت‌های دورانی مختلف (صرف نظر از این که چه وسیله‌ای به تراکتور متصل می‌شود) و در دست داشتن مدل‌های رگرسیونی خطی مناسب از این پارامترها، برای مهندسین به منظور طراحی، برای کارشناسان مزرعه به منظور مدیریت و تصمیم‌گیری صحیح در کاربرد تراکتور و ماشین و ایجاد تناسب بین آن‌ها و برای محققین به دلیل صرف‌جویی در هزینه و زمان انجام آزمایش‌ها، از اهمیت بسزایی برخوردار است. تاکنون هیچ مدل رگرسیونی خطی برای پارامترهای مهمی نظیر دبی جرمی مصرف سوخت، کدری دود اگزوز و غیره بر حسب گشتاور و سرعت دورانی موتور توسط محققین ارائه نشده است. از این رو، با توجه به بررسی منابع و بیان مسئله ذکر شده و نیز اهمیت موضوع بحران انرژی و مسائل زیست محیطی، هدف اصلی این تحقیق ارائه مدل‌های رگرسیونی خطی مناسب و قابل اعتماد برای برخی پارامترهای عملکردی مهم موتور تراکتور ITM285 بر حسب گشتاور و سرعت موتور بود. علاوه بر ارائه این مدل‌های خطی، نوآوری‌های دیگر این تحقیق عبارتند از: ۱- مستقل بودن مدل‌های از نوع دستگاهی که به تراکتور متصل می‌شود و از موتور توان دریافت می‌کند. این مدل‌ها برای هر وسیله‌ای کشاورزی یا حتی غیر کشاورزی که از موتور نامبرده توان دورانی دریافت می‌کند، معتمدند. ۲- دامنه‌ی گستردگی مدل‌سازی متناسب و قابل اعتماد برای برخی پارامترهای موتور می‌باشند. ۳- تخصیص بخشی از داده‌های تحقیق برای اعتبارسنجی مدل‌ها. این امر تاکنون در هیچ‌یک از مدل‌سازی‌های رگرسیونی توسط محققین انجام نشده است و از تمامی داده‌ها برای برآورد مدل استفاده نموده‌اند.

## 2- مواد و روش‌ها

### 2-۱- مشخصات موتور

آزمایش در دانشگاه فردوسی مشهد، گروه مهندسی بیوپسیستم، بر روی موتور تراکتور ITM285 ساخت شرکت تراکتورسازی ایران انجام شد. قبل از انجام آزمایش، فیلترها و روغن موتور تعویض شد. سپس، آزمون‌های مقدماتی برای کنترل کارکرد تجهیزات مورد استفاده در آزمون و اطمینان از آماده بودن موتور برای انجام آزمایشات اصلی انجام شد [26]. مشخصات فنی موتور مورد استفاده در جدول ۱ آمده است.

<sup>3</sup> PLINT  
<sup>4</sup> Load cell  
<sup>5</sup> Tachometer

گردید. برای تنظیم دقیق سرعت اولیه موتور در سطح موردنظر، ارتباط گاز دستی تراکتور از پمپ انژکتور قطع گردید و تنظیم سرعت موتور با استفاده از یک پیچ تنظیم بر روی اهرم شانه‌ی گاز پمپ انژکتور انجام شد.

مقادیر مصرف سوخت مایع باید همان طور که سوخت به سیستم تعذیب می‌شود، مستقیماً به صورت وزنی اندازه‌گیری شوند. اندازه‌گیری‌های حجمی برای تعیین مقادیر مصرف سوخت نباید استفاده شوند و چنانچه در شرایط خاص به کار روند باید تصویجات دمایی<sup>۱</sup> اعمال گردد [۲۶]. در روش حجمی، مقادیر حجم سوخت مصرفی در مقدار چگالی سوخت در دمای ۱۵ درجه‌ی سانتی‌گراد ضرب می‌شود؛ از این رو، تغییرات چگالی سوخت با دما نیز باید مود توجه قرار گیرد [۲۸]. در این تحقیق با توجه به ایستگاهی بودن آزمایشات، برای اندازه‌گیری دبی جرمی مصرف سوخت تراکتور از یک ترازوی دیجیتالی ساخت شرکت A&D ژاپن با دقت  $\pm 0.01$  گرم و ظرفیت ۶ کیلوگرم استفاده شد (شکل ۲). صحت کارکرد ترازو توسط وزنه‌های استاندارد توزین بررسی و تأیید شد. باک سوخت از مدار سوخت‌رسانی خارج و یک ظرف سوخت بر روی ترازو قرار داده شد. سوخت توسط یک لوله‌ی پلاستیکی رابط از ظرف به فیلترهای اولیه سوخت می‌رسید و لوله‌ی دیگری، سوخت اضافی سر انژکتورها را به ظرف برمی‌گرداند (شکل ۳). آرایش ظرف سوخت و تمامی لوله‌ها و اتصالات به گونه‌ای بود که بجز ظرف سوخت، چیز دیگری بر مشاهدهات وزنی تأثیر نگذارد [۲۶]. عدد ترازو با فرکانس نمونه‌برداری ۵ هرتز ثبت گردید. سپس نمودار پراکندگی مقادیر به دست آمده در نرمافزار اکسل<sup>۲</sup> رسم و با برازش خط سیر روند بر روی آن، دبی جرمی مصرف سوخت (شیب خط) بر حسب گرم بر ثانیه به دست آمد.

برای اندازه‌گیری کدری دود اگزوز از دستگاه تست آلینده‌ی دیزل مهمن<sup>۳</sup> مدل MDO2-LON ساخت کشور آلمان [۲۵] استفاده شد (شکل ۲). قبل از انجام آزمایش، دستگاه توسط شرکت توان‌سازان ایران برای مدت ۱۸۰ روز کالیبره شد. این دستگاه، کدری دود اگزوز را بر حسب  $m^3$  اندازه‌گیری و ثبت می‌نمود و در پایان هر آزمایش، مقدار حداقل کدری دود را در طی آن آزمایش نشان می‌داد.

برای اندازه‌گیری دمای گازهای خروجی موتور در گلوبی اگزوز که از این پس دمای اگزوز نامیده می‌شود، از یک حسگر دمای سری K [۲۵] با قابلیت اندازه‌گیری دما تا  $700^\circ\text{C}$  و یک نمایش گر دما ساخت شرکت لوترون<sup>۴</sup> مدل TM-902C با قابلیت نمایش دما از  $-50^\circ\text{C}$  تا  $1300^\circ\text{C}$  و تفکیک‌پذیری  $1^\circ\text{C}$  استفاده شد (شکل ۲). برای اطمینان از درستی کارکرد حسگر دما از دمای مخلوط اشباع آب و بخ  $0^\circ\text{C}$  و دمای آب در حال جوش در فشار یک اتمسفر ( $99.62^\circ\text{C}$ ) [۲۹]، استفاده شد. برای نصب حسگر دما بر روی موتور، گلوبی اگزوز سوراخ گردید [۱۶] و مهره‌ای بر روی آن جوش داده شد. با بستن پایه‌ی حسگر به مهره، سر آن به طور کامل وارد گلوبی می‌شد (شکل ۲). انتخاب گلوبی اگزوز برای نصب حسگر دما به این دلیل بود که اولاً گازهای خروجی از تمامی سیلندرها از این نقطه عبور می‌کرد و دوماً این نقطه نزدیک‌ترین نقطه به منیفولد دود بوده و حداقل افت دمای دود در آن اتفاق می‌افتد. محل نصب به طور جزئی تر، در وسط انحنای گلوبی انتخاب شد زیرا در این نقطه، دود برای تغییر مسیر از حالت افقی به حالت عمودی در اثر نیروی گریز از مرکز مماس بر جداره‌ی گلوبی اگزوز حرکت می‌کرد و حسگر را به طور کامل در بر می‌گرفت (شکل ۳).



Fig. 1 The overall view of the test setup.

شکل ۱ نمای بستر آزمون.



Fig. 2 The instruments for parameters measurements: 1- Digital scale to measure fuel consumption, 2- Diesel emission tester, 3- Temperature monitor and sensor, 4- Emission probe and 5- Load cell.

شکل ۲ تجهیزات اندازه‌گیری پارامترها: ۱- ترازوی دیجیتالی برای اندازه‌گیری مصرف سوخت، ۲- دستگاه تست آلینده‌ی دیزل، ۳- نمایش گر و حسگر دما، ۴- پروف اندازه‌گیری دود و ۵- لودسل.

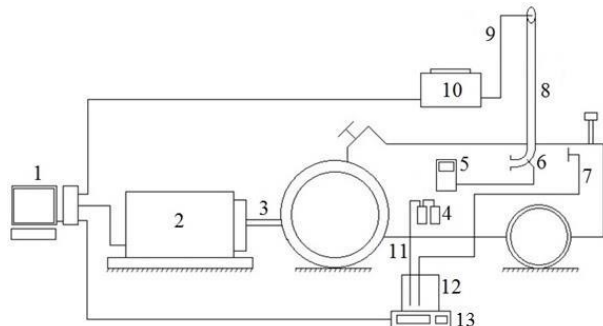


Fig. 3 Schematic of the test bed: 1- Data acquisition system, 2- Dynamometer, 3- Transmission shaft, 4- Primary fuel filters, 5- Temperature monitor, 6- Temperature sensor, 7- Fuel return pipe, 8- Tractor exhaust, 9- Emission measurement probe, 10- Diesel emission tester, 11- Fuel inlet pipe, 12- Fuel container and 13- Digital scale.

شکل ۳ طرحواره‌ی بستر آزمون و تجهیزات مورد استفاده: ۱- سامانه‌ی جمع‌آوری داده‌ها، ۲- دینامومتر، ۳- میل گردان، ۴- فیلترهای اولیه سوخت، ۵- نمایش گر دما، ۶- حسگر دما، ۷- لوله‌ی برگشت سوخت، ۸- اگزوز، ۹- لوله‌ی عبور دود، ۱۰- دستگاه تست آلینده‌ی دیزل، ۱۱- لوله‌ی ورودی سوخت، ۱۲- ظرف سوخت و ۱۳- ترازوی دیجیتالی.

می‌شد. نسبت تبدیل سرعت موتور به سرعت دینامومتر ۱:۱.۲ بود که با تقسیم مقادیر سرعت دینامومتر به عدد ۱.۲ مقادیر سرعت موتور مشخص

<sup>1</sup> Temperature corrections

<sup>2</sup> Excel

<sup>3</sup> MAHA

<sup>4</sup> Lutron

همبستگی پیرسون در جدول 3 آمده است. بیلگیلی و ساهین [18] نیز از همین آزمون برای بررسی همخطی متغیرهای واپسیهای پژوهش استفاده کردند. بیشترین و کمترین ضریب همبستگی پیرسون به دست آمده در آن پژوهش به ترتیب برابر 0.936 و 0.0075 (هر دو با علامت منفی) بود. نتایج آزمون همخطی نشان داد که بین تمام زوج متغیرهای واپسیهای همخطی معنی‌داری در سطح یک درصد وجود داشت. مقدار ضریب همبستگی پیرسون بین دبی جرمی سوخت و دمای آگزوز و نیز بین حداکثر و میانگین کدری دود آگزوز به ترتیب با مقادیر 0.96 و 0.99 در سطح بالایی قرار داشت اما در دیگر زوج‌ها مقدار این ضریب کمتر از 0.60 بود که چندان مناسب نیست (جدول 6). عباس زاده و قبادیان [5] تأثیر مثبت و معنی‌دار سرعت موتور بر میزان کدری دود آگزوز را گزارش داده‌اند اما این تأثیر در بارهای پایین، قابل ملاحظه نبود. بین سرعت اولیه موتور و پارامترهای کدری دود آگزوز رابطه‌ی معنی‌داری در سطح احتمال یک درصد وجود داشت. نمودار پراکندگی دبی جرمی مصرف سوخت در برابر دمای آگزوز و نمودار میانگین در برابر حداکثر کدری دود در شکل 4 نشان داده شده است. رابطه‌ی خطی بین دو متغیر به همراه ضریب تبیین مربوطه نمایش داده شده است (شکل 4). این ضریب تبیین در واقع همان مربع ضریب همبستگی نشان داده در جدول 3 است.

### 3- انتخاب مدل رگرسیونی مناسب

نتایج بررسی کلاری بی هر یک از مدل‌های رگرسیونی نشان داده شده در روابط 1 تا 4 برای هر پارامتر در جدول 4 آمده است. برای تمامی پارامترها، مدل رگرسیونی مرتبه دوم دارای بیشترین بازده و کمترین RMSE هم برای داده‌های آموزش و هم برای داده‌های تست بود (جدول 4). ثابت سروستانی و همکاران [25] نتیجه‌ی مشابه را برای مصرف ویژه سوخت ترمیزی و آلاینده‌های موتور دیزل به جز کدری دود گزارش داده‌اند. مدل رگرسیونی مناسب برای کدری دود در آن تحقیق، مدل 2FI بود.

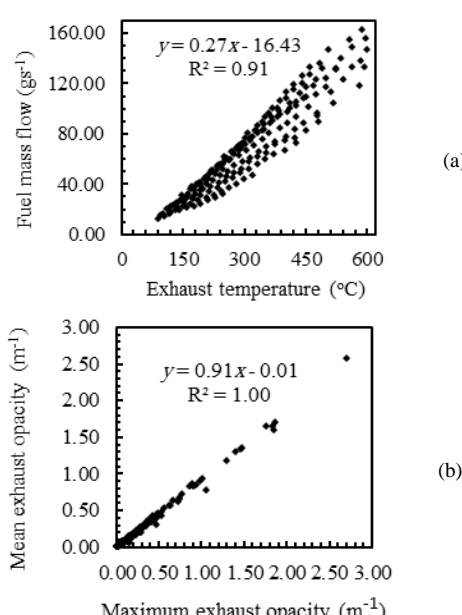


Fig. 4 Plot of a) Fuel mass flow versus exhaust temperature and b) Mean opacity versus maximum exhaust opacity

شکل 4 نمودار (a) دبی جرمی سوخت در برابر دمای آگزوز و (b) میانگین کدری دود در برابر حداکثر کدری دود آگزوز

### 2-4- تحلیل داده‌ها و استخراج مدل‌ها

مدلهای رگرسیونی که برای تخمین پارامترها مورد استفاده قرار گرفتند در روابط 1 تا 4 نشان داده شده است [25].

$$y = \beta_0 + \beta_1 N_p + \beta_2 T + \varepsilon \quad (1)$$

$$(2\text{FI}) \quad y = \beta_0 + \beta_1 N_p + \beta_2 T + \beta_3 N_p T + \varepsilon$$

$$(3) \quad y = \beta_0 + \beta_1 N_p + \beta_2 T + \beta_3 N_p^2 + \beta_5 T^2 + \varepsilon$$

$$(4) \quad y = \beta_0 + \beta_1 N_p + \beta_2 T + +\beta_3 N_p^2 + \beta_4 T^2 + \varepsilon$$

که در آن  $N_p$ : سرعت اولیه موتور بر حسب rpm،  $T$ : گشتاور موتور بر حسب Nm،  $y$ : متغیر واپسیهای (دبی جرمی مصرف سوخت، دمای آگزوز، سرعت لحظه‌ای موتور، حداکثر کدری آگزوز و میانگین کدری دود آگزوز به ترتیب بر حسب gs⁻¹، rpm، °C و m⁻¹) و  $\beta_i$  به قسمی که  $i=0,1,2,3,4,5$  ضرائب مدل‌های رگرسیونی می‌باشند.

تجزیه واریانس مدل رگرسیون خطی چندمتغیره در جدول 2 نشان داده شده است. واریانس کل مدل به دو جزء اصلی شامل مجموع مربعات رگرسیون ( $SS_R$ ) و مجموع مربعات خطای ( $SS_E$ ) تقسیم شده است. از آزمون F برای بررسی معنی‌داری مدل استفاده شده است. علاوه بر این، معنی‌داری ضرائب مدل برآورد شده با استفاده از آماره‌ی  $F$  ارزیابی گردیده است [25].

### 2-5- معیارهای ارزیابی عملکرد مدل

داده‌ها به طور تصادفی به دو بخش داده‌های آموزش و تست تقسیم شدند. 80 درصد داده‌ها برای آموزش و 20 درصد داده‌ها برای تست مدل‌ها در نظر گرفته شد. برای ارزیابی مدل‌های رگرسیونی از معیارهای جذر میانگین مربعات خطای ( $RMSE$ ) و بازدهی مدل ( $EF$ ) برای داده‌های آموزش و تست استفاده شده است. برای هر پارامتر، مدلی که کمترین  $RMSE$  و بیشترین بازده را دارد انتخاب گردیده و مورد تجزیه واریانس قرار گرفته است. سپس تبدیلات مختلف نظیر لگاریتم، رادیکال، معکوس و غیره بر هر پارامتر اعمال گردیده و مدل مناسب استخراج شده است. انتخاب مدل مناسب بر اساس رسم نمودار پراکندگی مقادیر پیش‌بینی شده در برابر مقادیر واقعی در اطراف نیمساز ربع اول (خط  $y=x$ ) انجام شده است [25].

تفکیک و تحلیل داده‌ها، استخراج مدل‌های رگرسیونی و ارزیابی مدل‌ها با استفاده از نرم‌افزار متلب نسخه‌ی R2016b و رسم نمودارهای پراکندگی توسط نرم‌افزار اکسل نسخه‌ی 2010 انجام شد.

### 3- نتایج و بحث

#### 3-1- همبستگی بین متغیرها

نتایج بررسی همبستگی بین متغیرها (مستقل و واپسیهای) بر اساس ضریب

جدول 2 تجزیه واریانس مدل رگرسیونی

Table 2 Analysis of variance table for the regression model

	میانگین مربعات	مجموع مربعات	درجۀ آزادی	منبع تغییر
$F = \frac{MS_R}{MS_E}$	$MS_R = \frac{SS_R}{p-1}$	$SS_R = \sum_{i=1}^n (\hat{y}_i - \bar{y})^2$	$p-1$	رگرسیون
	$MS_E = \frac{SS_E}{n-p}$	$SS_E = \sum_{i=1}^n (y_i - \hat{y}_i)^2$	$n-p$	خطای
		$SS_T = \sum_{i=1}^n (y_i - \bar{y})^2$	$n-1$	کل

$n$ : تعداد تکرار؛  $p$ : تعداد پارامترها؛  $y$ : مقدار تجربی پارامتر؛  $\hat{y}$ : مقدار پیش‌بینی شده توسط مدل

جدول 3 نتایج آزمون همبستگی متغیرها (ضریب همبستگی پیرسون)

Table 3 Results of linearity test of variables (Pearson correlation coefficient)

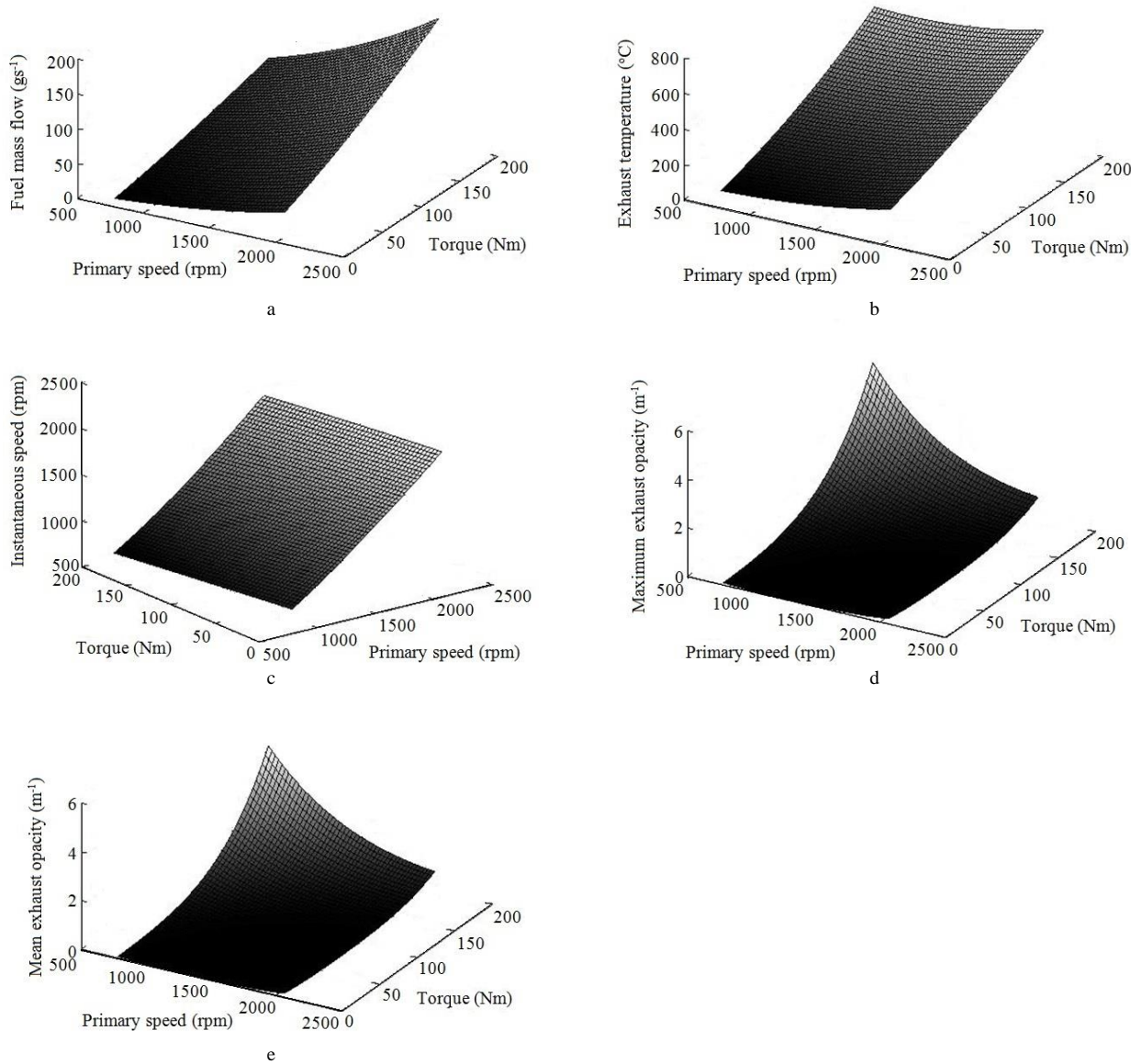
	سرعت لحظه‌ای موتور	دماهی اگزوز	دیجی جرمی سوخت	T	N <sub>p</sub>	
				1	0.18**	T
				1	0.85**	دیجی جرمی سوخت
				1	0.96**	دماهی اگزوز
				1	0.28**	سرعت لحظه‌ای موتور
	-0.24**	0.59**	0.41**	0.63**	-0.12ns	حداکثر کدری دود اگزوز
0.99**	-0.23**	0.60**	0.41**	0.63**	-0.11ns	میانگین کدری دود اگزوز

\*\* به ترتیب، معنی دار نبودن در سطح احتمال پنج درصد و معنی داری در سطح احتمال یک درصد (دو طرف)

جدول 4 مقادیر معیارهای عملکرد برای هر یک از مدل‌های رگرسیونی

Table 4 The values of performance criteria for each of the regression models

سرعت لحظه‌ای موتور				دماهی اگزوز				دیجی جرمی مصرف سوخت				مدل	
Test		Train		Test		Train		Test		Train			
EF	RMSE	EF	RMSE	EF	RMSE	EF	RMSE	EF	RMSE	EF	RMSE		
99.99	24.21	99.99	23.75	99.00	11.34	99.02	12.78	99.80	3.68	99.75	3.39	Linear	
99.99	22.20	99.99	22.36	99.68	10.61	99.58	12.68	99.58	2.84	99.89	2.23	2FI	
99.99	18.68	99.99	20.16	99.89	7.67	99.99	9.80	99.99	2.01	99.99	1.57	Quadratic	
99.99	22.06	99.99	22.88	99.87	9.61	99.89	11.44	99.87	2.78	99.99	2.53	Red. Quadratic	
میانگین کدری دود اگزوز				حداکثر کدری دود اگزوز				Linear					



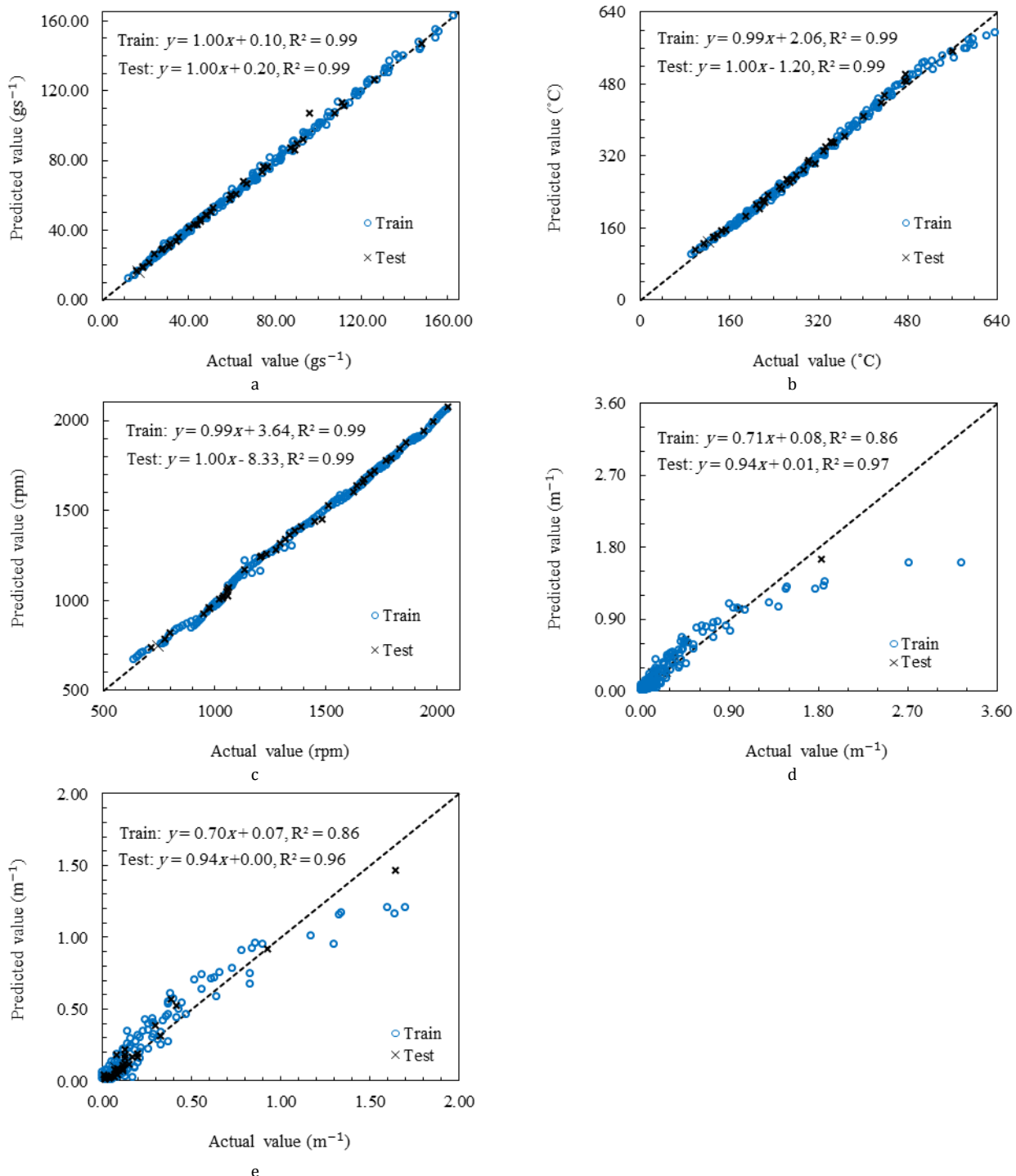
**Fig. 5** Plots of a) Fuel mass flow, b) Exhaust temperature, c) Instantaneous engine speed, d) Maximum exhaust opacity and e) Mean exhaust opacity, versus torque and primary engine speed

شکل ۵ نمودار پارامترهای (a) دبی جرمی سوخت، (b) دمای اگروز، (c) سرعت لحظه‌ای موتور، (d) حداکثر کدری دود و (e) میانگین کدری دود، در برابر گشتاور و سرعت اولیه موتور

منجر به تعداد چرخه‌های احتراق کمتری در واحد زمان گردید. بنابراین، موتور می‌بایست انرژی بیشتری را در تعداد احتراق کمتر، آزاد نماید و احتمالاً همین امر منجر به افزایش دبی جرمی مصرف سوخت گردد. با افزایش گشتاور، دمای اگروز نیز دارای روندی پیوسته صعودی و مشابه با دبی جرمی گشتاور، دمای اگروز نیز دارای روندی پیوسته صعودی و مشابه با دبی جرمی سوخت بوده است (شکل ۵-ب). در واقع دمای اگروز، متأثر از دمای احتراق و آن نیز متأثر از انرژی آزاد شده در فرآیند احتراق (میزان مصرف سوخت) است. احتمالاً به همین دلیل دمای اگروز و دبی جرمی سوخت نسبت به تغییر گشتاور دارای روند تغییر مشابه بوده‌اند. آگراوال و همکاران [10] نیز افزایش دمای اگروز را با افزایش بار موتور گزارش داده‌اند. یکی از آلاینده‌های مهم موتورهای احتراق داخلی،  $\text{NO}_x$  است که متأثر از دمای احتراق می‌باشد. فلاخ و محمدپور فرد [6] اذعان داشته‌اند که تشکیل  $\text{NO}_x$  در محفظه احتراق، حساسیت زیادی به تغییرات دمایی محفظه احتراق دارد و افزایش دمای

از آن جا که احتراق موتور و پارامترهای عملکردی آن تحت تأثیر نوع اقلیم و شرایط اتمسفری منطقه می‌باشند، روابط حاصله برای منطقه مشهد و نیز مناطق با اقلیم مشابه (گرم و خشک) و در شرایط جوی ذکر شده معتبرند و قابل تعمیم به شرایط و اقلیم‌های دیگر نیستند. نقوی مرادخانلو و همکاران [24] دو مدل رگرسیون خطی سه‌متغیره برای مصرف سوخت موتور تراکتور ITM285 بر حسب بکسوات، نیروی مالبندی و میزان سنگین‌کننده‌ها با ضرائب تبیین 0.930 و 0.940 به دست آوردند.

روند تغییر دبی جرمی سوخت نسبت به افزایش گشتاور در تمامی سرعت‌های اولیه موتور، پیوسته صعودی بود (شکل ۵-ا). با افزایش گشتاور، توان مصرف شده (انرژی مصرفی در واحد زمان) افزایش یافت و این امر مستلزم آزاد شدن انرژی بیشتر در فرآیند احتراق (مصرف سوخت بیشتر) بود. از طرفی، سرعت موتور با افزایش گشتاور کاهش یافت (شکل ۵-ب) که



شکل ۶ نمودار مقادیر واقعی در برابر مقادیر پیش‌بینی شده برای a) سرعت لحظه‌ای موتور، b) دمای اگزوز، c) سرعت جرمی سوخت، d) حداکثر کدری دود اگزوز و e) میانگین کدری دود اگزوز

موتور تأثیر منفی در تشکیل این آلاینده داشته و باعث افزایش آن می‌شود. برخی محققین با استناد به این امر که تشکیل  $\text{NO}_x$  شدیداً تحت تأثیر دمای احتراق است و از طرفی، دمای احتراق مستقیماً بر روی دمای اگزوز تأثیر می‌گذارد، از این رو دمای اگزوز را به عنوان معیاری از این آلاینده معرفی نموده‌اند [10]. نتایج نشان داد که با افزایش گشتاور، دمای اگزوز با شبیه تندی یافته است (شکل ۶-ب) در حالی که این امر در مورد سرعت لحظه‌ای موتور، ناچیز بوده و روندی کاهشی با شبیه ملايم (شکل ۶-c) داشته است. در

موردن تأثیر سرعت اولیه موتور بر پارامترها، نتیجه‌ای عکس گشتاور به دست آمده به طوری که بیشترین تأثیر آن بر پارامتر سرعت لحظه‌ای موتور با شبیه تند (شکل ۶-c) و کمترین تأثیر آن بر دمای اگزوز با شبیه ملايم (شکل ۶-ب) بوده است. سرعت لحظه‌ای موتور مستقیماً متأثر از سرعت اولیه می‌باشد و احتمالاً به همین دلیل بیشترین تأثیر سرعت اولیه موتور بر این پارامتر بود. در واقع، هنگامی که موتور در یک سرعت اولیه و گشتاور مشخص باشد با افزایش سرعت اولیه به یک مقدار بالاتر و با همان گشتاور قبلی، افت سرعت

اولیه ثابت، با افزایش گشتاور ابتدا با شبیه ملایم و سپس با شبیه تد افزایش یافته‌اند.

حداکثر و میانگین کدری دود اگزوز دارای همبستگی خطی مناسبی بوده‌اند. همچنین، دبی جرمی مصرف سوخت رابطه‌ای خطی قوی با دمای اگزوز داشته و مدل خطی به دست آمده می‌تواند در تحقیقات آتی دیگر محققین بسیار راه‌گشا و موثر باشد چرا که اندازه‌گیری دمای اگزوز بسیار ساده است و مستلزم استفاده از ابزارهای پیچیده و گران قیمت نیست. به عنوان یک نتیجه‌ی کلی می‌توان گفت رگرسیون خطی چندمتغیره ابزاری قوی و مناسب برای تحلیل پارامترهای عملکردی موتور بوده و مدل‌های خطی سودمند و کارآمدی را رائه می‌دهد. این مدل‌ها اگر در دامنه‌ی وسیع تری طراحی و ارزیابی شوند می‌توانند موجب صرفه‌جویی در زمان و هزینه‌ی انجام بسیاری از آزمایش‌های تجربی (در دسترس نبودن و یا قیمت بالای ابزار اندازه‌گیری دقیق برخی پارامترها) شوند.

موتور در دو حالت تقریباً یکسان است و سرعت لحظه‌ای موتور تقریباً به نسبت یک به یک با سرعت اولیه افزایش می‌یابد. تأثیر سرعت موتور بر دمای اگزوز، مثبت (افزایشی) بود. نتیجه‌ی مشابه در تحقیق دیگر محققین نیز گزارش شده است [16,13].

رونده تغییرات پارامترهای حداکثر و میانگین کدری دود اگزوز در برابر گشتاور در سرعت‌های مختلف کاملاً مشابه بوده به طوری که در یک سرعت اولیه ثابت، با افزایش گشتاور ابتدا با شبیه ملایم و سپس با شبیه تد افزایش یافته‌اند. با کاهش سرعت موتور و افزایش گشتاور، مقادیر پارامترهای کدری دود افزایش چشم‌گیری داشتند. تغییرات کدری دود اگزوز در بارهای پایین چندان متأثر از سرعت موتور نبوده و با افزایش سرعت، مقدار کدری افزایش ناچیزی را نشان داده است (شکل‌های ۴-۵ و ۵-۶). نتیجه‌ی به دست آمده در تحقیق دیگر محققین حاکی از آن بود که باز موتور و سرعت موتور به ترتیب بیشترین و کمترین تأثیر مثبت را بر میزان کدری دود اگزوز داشتند [5].

## 5- فهرست علائم

بازدهی مدل	EF
دمای اگزوز (°C)	ET
دبی جرمی مصرف سوخت ( $gs^{-1}$ )	FMF
سرعت لحظه‌ای موتور (rpm)	IRPM
میانگین کدری دود اگزوز ( $m^{-1}$ )	MEEO
حداکثر کدری دود اگزوز ( $m^{-1}$ )	MEO
سرعت اولیه موتور (rpm)	$N_p$
جزر میانگین مربعات خطای مجموع مربعات خطای	RMSE
مجموع مربعات رگرسیون	SS <sub>E</sub>
مجموع مربعات کل	SS <sub>R</sub>
گشتاور (Nm)	SS <sub>T</sub>
متغیر مستقل	T
متغیر وابسته	x
	y

## 6- مراجع

- [1] N. Mrad, E. G. Varuvel, M. Tazerout, F. Aloui, Effects of biofuel from fish oil industrial residue-Diesel blends in diesel engine, *Energy*, Vol. 44, No. 1, pp. 955-963, 2012.
- [2] A. Zenouzi, B. Ghobadian, T. Tvakoli Hashjin, M. Feyzolahnejad, H. Bagherpour, Effect of waste oil methyl ester on tractor engine performance, *Modares Mechanical Engineering*, Vol. 10, No. 2, pp. 1-9, 2010. (in Persian) (فارسی)
- [3] M. R. Seifi, S. R. Hassan-Beygi, B. Ghobadian, U. Desideri, M. Antonelli, Experimental investigation of a diesel engine power, torque and noise emission using water-diesel emulsions, *Fuel*, Vol. 166, No. 1, pp. 392-399, 2016.
- [4] E. Y. Kim, A. C. C. Tan, B. S. Yang, Acoustic emission for diesel engine monitoring: a review and preliminary analysis, *Engineering Asset Management and Infrastructure Sustainability*, Vol. 1, No. 1, pp. 489-499, 2012.
- [5] A. Abbaszadeh, B. Ghobadian, Investigation of effects of working parameters of a diesel engine on exhaust opacity, *The 5th National Congress of Agricultural Machinery Engineering and Mechanization*, Mashhad, Iran, August 27-28, 2008. (in Persian) (فارسی)
- [6] M. Fallah, M. Mohammadpourfard, Experimental investigation of effects of engine cooling temperature, EGR and injection timing to reduce NOx emissions in the diesel engines, *Modares Mechanical Engineering*, Vol. 11, No. 4, pp. 1-9, 2011. (in Persian) (فارسی)
- [7] P. Soltani Nazarloo, H. Hajji Agha Alizadeh, H. Rabbani, B.

## 3-4- ارزیابی مدل‌ها

مقایسه‌ی بین مقادیر واقعی و مقادیر پیش‌بینی شده توسط مدل رگرسیون خطی مربوط به هر پارامتر برای داده‌های آموزش و تست به طور جداگانه در شکل 6 نشان داده شده است.

خطچین نشان داده شده در هر شکل، نیمساز ربع اول است تا پراکندگی نقاط در اطراف این خط، نمایان شود. همچنین معادله‌ی مربوطه به همراه ضریب تبیین آن در هر شکل نمایش داده شده است. همان‌گونه که از پراکندگی نقاط مشخص است مدل‌های رگرسیون خطی مربوط به پارامترهای دبی جرمی سوخت، دمای اگزوز و سرعت لحظه‌ای موتور پیش‌بینی بهتری نسبت به مدل‌های دو پارامتر دیگر داشته‌اند و تطابق مقادیر پیش‌بینی شده و مقادیر واقعی در این سه پارامتر، به ویژه در مورد دمای اگزوز و سرعت لحظه‌ای موتور بهوضوح مشهود است. در معادلات سیر روند پارامترها در شکل 6 هرچه شیب خط به یک نزدیکتر باشد حاکی از تطبیق بیشتر مقادیر پیش‌بینی شده با مقادیر واقعی پارامتر است. نجفی [30] نیز در تحقیقی به منظور ارزیابی مدل‌های تخمین عملکرد و آلیندگی موتور دیزل، نمودارهای مقادیر پیش‌بینی شده‌ی پارامترها در برابر مقادیر واقعی (واقعی) را ارائه داده است. شیب خط برآش شده و ضریب تبیین آن به ترتیب برای مصرف سوخت ویژه تمزی برابر ۰.۹۹۰ و ۰.۹۹۸ و برای انتشار هیدروکربن‌های نسوخته برابر ۰.۹۶۰ و ۰.۹۸۸ به دست آمده که حاکی از کارآیی مناسب مدل‌های به دست آمده بود. ثابت سروستانی و همکاران [25] نیز تطبیق بالایی بین مقادیر پیش‌بینی مدل‌های مصرف سوخت و کدری دود اگزوز با مقادیر واقعی به ترتیب با ضرائب تبیین ۰.۹۸ و ۰.۹۶ به دست آورند.

## 4- نتیجه‌گیری

دبی جرمی مصرف سوخت، دمای اگزوز و سرعت لحظه‌ای موتور دیزل به خوبی توسط گشتاور و سرعت اولیه‌ی موتور تبیین و مدل‌سازی خطی شده‌اند و مقادیر خروجی این مدل‌ها دارای تطبیق بسیار بالایی با مقادیر واقعی بوده‌اند؛ اما این تطبیق در مورد حداکثر و میانگین کدری دود اگزوز ضعیفتر بوده است. بیشترین و کمترین تأثیر گشتاور موتور به ترتیب بر دمای اگزوز و سرعت لحظه‌ای موتور بوده در حالی که این نتیجه برای سرعت اولیه‌ی موتور کاملاً بر عکس بوده است. روند تغییرات پارامترهای کدری دود اگزوز در برابر گشتاور در سرعت‌های مختلف کاملاً مشابه بوده به طوری که در یک سرعت

- [18] M. Bilgili, B. Sahin, Comparative analysis of regression and artificial neural network models for wind speed prediction, *Meteorology and Atmospheric Physics*, Vol. 109, No.1, pp. 61-72, 2010.
- [19] D. C. Montgomery, E. A. Peck, G. G. Vining, *Introduction to Linear Regression Analysis*, 5th Edition, pp. 15-321, New Jersey: Wiley, 2012.
- [20] E. Uludamar, E. Tosun, K. Aydin, Experimental and regression analysis of noise and vibration of a compression ignition engine fuelled with various biodiesels, *Fuel*, Vol. 177, No. 1, pp. 326-333, 2016.
- [21] M. Momeni, A. F. Ghayoumi, *Statistical Analysis with SPSS*, 3rd Edition, pp. 26-135, Tehran: Ganj Shayan, 2015. (in Persian فارسی)
- [22] M. R. Ebrahimzadeh, A. M. Borgheli, A. H. Tabatabaeifar, A. R. Masoodi, Appropriate model for identification of mechanical faults of MF399 tractor engine by oil analysis according to working condition, *Journal of Agricultural Sciences*, Vol. 11, No. 1, pp. 23-40, 2005. (in Persian فارسی)
- [23] M. Fallah, M. Mohammadpourfard, Numerical and analytical optimization of EGR cooling circuit in diesel engines, *Iranian Journal of Mechanical Engineering*, Vol. 12, No. 2(21), pp. 56-81, 2011. (in Persian فارسی)
- [24] G. Naghavi Morad Khanlo, M. H. Khoshtaghaza, S. Minaie, Effect of Ballast and Speed on Slippage and Fuel Consumption of ITM285 Tractor, *Journal Of Agricultural Sciences*, Vol. 12, No. 3, pp. 693-702, 2006. (in Persian فارسی)
- [25] N. Sabet Sarvestani, A. Rohani, A. Farzad, M. H. Aghkhani, Modeling of specific fuel consumption and emission parameters of compression ignition engine using nanofluid combustion experimental data, *Fuel Processing Technology*, Vol. 154, No. 1, pp. 37-43, 2016.
- [26] ASME (American Society of Mechanical Engineers), Reciprocating Internal-Combustion Engines, *Performance Test Codes (PTC) 17*, 2012.
- [27] ISIRI (Institute of Standards and Industrial Research of Iran), Test methods of agricultural tractors (part 2), *Standard Code 2568*, First edition, 1986. (in Persian فارسی)
- [28] OECD (Organisation for Economic Co-operation and Development), OECD Standard Code for the Official Testing of Agricultural and Forestry Tractor Performance, *Code 2*, 2012.
- [29] C. Borgnakke, R. E. Sonntag, *Fundamentals of Thermodynamics*, 8th Edition, 8th Edition, pp. 753-877, New Jersey: Wiley, 2013.
- [30] B. Najafi, Artificial neural networks used for the prediction of the diesel engine performance and pollution of waste cooking oil biodiesel, *Modares Mechanical Engineering*, Vol. 11, No. 4, pp. 11-20, 2011. (in Persian فارسی)
- Shadidi, Effect of exhaust gas recirculation (EGR) on engine performance and exhaust emissions on diesel engines, *The 8th National Congress of Agricultural Machinery Engineering (Biosystem) and Mechanization*, Mashhad, Iran, January 29-31, 2014. (in Persian فارسی)
- [8] J. Arregle, V. Bermudez, J. R. Serrano, E. Fuentes, Procedure for engine transient cycle emissions testing in real time, *Experimental Thermal and Fluid Science*, Vol. 30, No. 5, pp. 458-496, 2006.
- [9] *Smoke factor measurements with remote sensing device technology: recommended practice*, Publication series of Environmental Systems Products (ESP), Accessed on 30 Mar 2017; [http://opusinspection.com/wp-content/uploads/2016/02/20101110\\_ESP-RSD-Smoke-Factor-Final-Document.pdf](http://opusinspection.com/wp-content/uploads/2016/02/20101110_ESP-RSD-Smoke-Factor-Final-Document.pdf)
- [10] A. K. Agrawal, S. K. Singh, S. Sinha, M. K. Shukla, Effect of EGR on the exhaust gas temperature and exhaust Opacity in compression ignition engines, *Sadhana*, Vol. 29, No. 3, pp. 275-284, 2004.
- [11] Kh. PashaiHulasu, B. Mohammadi-Alasti, M. A. Haddad Derafshi, M. Abbasgholipour, Effect of turbo charger system on engine fuel consumption and tractor power and traction (ITM475, ITM485 and ITM800), *Journal of Agricultural Machinery*, Vol. 5, No. 2, pp. 313-324, 2015. (in Persian فارسی)
- [12] B. Najafi, V. Pirouzpanah, B. Ghobadian, A. Sadegh Pourranjbar, Experimental investigation of performance and emission parameters of diesel engine using biodiesel alternative fuel, *Modares Mechanical Engineering*, Vol. 7, No. 28, pp. 79-91, 2007. (in Persian فارسی)
- [13] S. H. Al-lwayzy, T. Yusaf, Diesel engine performance and exhaust gas emissions using Microalgae Chlorella protothecoides biodiesel, *Renewable Energy*, Vol. 101, No. 1, pp. 690-701, 2017.
- [14] Y. Icingur, D. Altiparmak, Effect of fuel cetane number and injection pressure on a DI Diesel engine performance and emissions, *Energy Conversion and Management*, Vol. 44, No. 3, pp. 389-397, 2003.
- [15] I. Celikten, An experimental investigation of the effect of the injection pressure on engine performance and exhaust emission in indirect injection diesel engines, *Applied Thermal Engineering*, Vol. 23, No. 16, pp. 2051-2060, 2003.
- [16] S. Rostami, B. Ghobadian, L. Savadkouhi, R. Ebrahimi, Experimental investigation of effect of injection pressure on performance of a diesel engine using blends of biodiesel and diesel, *Engine Research*, Vol. 21, No. 21, pp. 73-82, 2011. (in Persian فارسی)
- [17] V. Kotu, B. Deshpande, *Predictive Analytics and Data Mining: Concepts and Practice with Rapidminer*, pp. 165-193, San Francisco: Morgan Kaufmann, 2015.